

城市污泥中 Cu 回收研究:生物沥浸-溶剂萃取-电积沉 Cu 技术

陈海平,周立祥*,王世梅,梁剑茹

(南京农业大学资源与环境科学学院环境工程系,南京 210095)

摘要:城市污泥通常含有大量有机质但也存在数量不等有害金属,在不影响污泥有益成分的基础上,去除和回收污泥中金属,既使污泥无害化又产生经济效益,意义重大.针对苏州某工业园区污泥重金属含量较高,研究利用生物沥浸-溶剂萃取-电积技术回收城市污泥中重金属 Cu 的工艺,并探讨了采用 5-壬基水杨醛肟萃取剂 M5640 从城市污泥生物沥浸液中萃取分离 Cu 和 Fe 的最佳工艺参数.结果表明,经过生物沥浸处理 72 h 后,城市污泥中重金属 Cu 溶出率高达 90%.当最佳工艺条件为:萃取剂体积分数为 2%,相比(有机相与水相体积比,以 O/A 表示)为 1/3,沥浸液 pH 为 2.0 时,沥浸液中 Cu 的一级萃取率达到 95% 以上,而 Fe 的共萃率低于 10%;反萃取试验结果表明,在反萃取相比为 2/1 的条件下用 1.5 mol/L 硫酸溶液进行反萃取,Cu 的一级反萃取率达到 80.07%;反萃取后的富集 Cu 溶液作为电解液,在槽电压为 2.1 V、电解温度为 55℃ 条件下电积 6 h,Cu 回收率达到 90% 以上.在整个工艺中萃余液和反萃液均可循环利用无废液排放,对含 Cu 高的污泥,利用生物沥浸-溶剂萃取-电积技术回收有良好的应用前景.

关键词:城市污泥;Cu;生物沥浸;萃取;电积;回收

中图分类号:X703 文献标识码:A 文章编号:0250-3301(2009)11-3364-07

Recovery of Copper from Sewage Sludge by Bioleaching-Solvent Extraction-Electrodeposition Process

CHEN Hai-ping, ZHOU Li-xiang, WANG Shi-mei, LIANG Jian-ru

(Department of Environmental Engineering, College of Resources and Environmental Sciences, Nanjing Agricultural University, Nanjing 210095, China)

Abstract: Sewage sludge contains not only a lot of organic matter and plant nutrients, but also some harmful metals. Recovery of sludge-born metals for sewage sludge of high metal content is very important for safe reutilization of sewage sludge and for economic consideration. Here, we reported a recovery technique for sludge-born copper using bioleaching-solvent extraction-electrodeposition(L-SX-EW) process through batch experiments. The tested sludge containing 7 432 mg/kg Cu was collected from Suzhou Wastewater Treatment Plant located in industrial zone of Suzhou City, Jiangsu, China. The results showed that more than 90% of sludge-born Cu could be solubilized into aqueous phase within 72 h through bioleaching process. Furthermore, soluble Cu in the form of Cu^{2+} in bioleached sludge filtrate could be concentrated into organic phase through the extracting operation using 2% solvent extractant M5640 under the optimized condition of 1/3 phase ratio (O/A) and pH 2.0, in which Cu^{2+} extraction efficiency reached more than 95%, whereas the co-existing soluble iron extraction efficiency was less than 10%. Stripping results showed that the Stripping rate of Cu was 80.07% when the phase ratio (O/A) was 2/1 using 1.5 mol/L H_2SO_4 as stripping solvent. After the concentrated Cu^{2+} in acidic aqueous phase was electrolyzed for 6 h at 2.1 V bath voltage and 55℃, more than 90% of the Cu^{2+} recovery efficiency was achieved in the form of elemental Cu powder. There wasn't any wastewater generation in this process. Therefore, this L-SX-EW technique exhibited a potential application for the recovery of metal for heavy metal-loaded sludge.

Key words: sewage sludge; copper; bioleaching; extraction; electrodeposition; recovery

城市污水处理厂污泥含有大量的有机质及 N、P 等植物养分,但同时也富集了污水中重金属^[1].在处理一些混流有较大比例工业废水(特别是来自机械行业、IT 行业和电镀行业的废水)的城市污水处理厂中,其城市污泥重金属含量则更高,例如 Cu 可达到数千甚至上万 mg/kg^[2].因此,去除城市污泥中高含量的有毒重金属或者进一步回收高含量的金属,使污泥和回收的金属均资源化利用,意义重大.

本课题组曾系列报道了生物沥浸技术

(bioleaching)在溶出污泥中重金属、杀灭污泥中病原物和促进污泥脱水上的作用功效^[3-6],并通过生产性试验先后处理污泥近 1 000 m³.结果显示,该技术具有不耗酸、运行成本低、重金属溶出效率高(可高

收稿日期:2008-12-22;修订日期:2009-03-02

基金项目:国家高技术研究发展计划(863)项目(2006AA06Z314);国家自然科学基金项目(20677028)

作者简介:陈海平(1984~),男,硕士研究生.主要研究方向为固体废物无害化与资源化处理, E-mail: chp256@126.com

* 通讯联系人, E-mail: lxzhou@njau.edu.cn

达 90% 以上)、无二次污染等化学浸提法不可比拟的优点,应用前景广阔.

值得指出的是,由于多数城市污泥重金属含量并不很高,如多数在我国城镇污水处理厂污染物排放标准(GB 18918-2002)限值以下,污泥中重金属的资源化回收价值相对较小,因此,污泥中重金属溶出进入液相后通常加石灰沉淀使其变成金属泥饼^[7],然后安全处置(如安全填埋).有关城市污泥重金属回收的研究报道在国内外都非常鲜见.然而,在我国某些工业园区,由于城市污水处理厂中混流有大量的工业废水,导致污泥中重金属含量大大超过国家有关标准,其含量可达到回收利用价值.例如,据调查,在江苏苏南地区某些城市污水处理厂 Cu 含量可达 3 000 ~ 15 000 mg/kg^[2],在有中国皮革城之誉的浙江海宁,某些城市污泥 Cr 也可达到上万 mg/kg.这些污泥中金属含量几乎可达到低品位金属矿的水平.对于这些污泥,回收污泥沥浸液中的有价金属不仅可使污泥无害化,还可得到高纯度金属,产生一定经济效益.

在生物湿法冶金中,采用浸出-溶剂萃取-电积法从 Cu 矿中回收得到高纯度 Cu 是一项非常成熟的技术.其基本流程为采用各种浸出手段包括堆浸、生物堆浸、搅拌浸出、加压浸出、地下溶浸等,直接从 Cu 矿石或 Cu 精矿中浸出 Cu,微生物技术使矿石中 Cu 溶出进入液相,然后通过特效的有机萃取剂将水相中 Cu 选择性地萃取(Cu 进入有机相),然后再用酸反萃取(Cu 进入水相)以获得水相中高浓度 Cu,再进一步通过电积技术生产阴极 Cu^[8-11].全世界采用该工艺生产的 Cu 产量在 2003 年已占到世界 Cu

产量的 1/4^[12].但与无机物的金属矿石不同,城市污泥含高量的有机物质(30% ~ 60%),是否也可采用该工艺从城市污泥中回收高纯度的金属 Cu 尚鲜见报道.为此,本研究以苏州某工业园区的城市污泥为对象,分析了污泥中 Cu 生物浸出-溶剂萃取-电积沉 Cu 的可行性,并进一步对各种工艺参数进行了优化.

1 材料与方法

1.1 试验材料

供试污泥采自苏州某污水处理厂的污泥浓缩池,该污水处理厂长期接受来自于 IT 行业的工业废水.2006 年以前,污泥中金属尤其是 Cu 含量最高时可达 15 000 mg/kg,近年来,由于严格管理,Cu 含量有明显下降,多数在 8 000 mg/kg 以下.本次供试污泥的基本理化性质列于表 1.

用于污泥中重金属生物沥浸的微生物主要为嗜酸性硫杆菌(*Acidithiobacillus thiooxidans* TS6 和 *Acidithiobacillus ferrooxidans* LX5)为主并配合有耐酸性异养菌的专利微生物菌群^[13,14],上述微生物为本实验室分离,并被国家专利局指定的微生物保存中心保藏.

复合硫杆菌的加富、驯化及接种物制备,按参考文献^[15]进行.主要是将工作菌株分别接种到各自培养基中复壮、加富.然后按一定比例接种到预先酸化到 pH = 4 和加入有能源物质的供试污泥中驯化直至 pH 降到 2,反复驯化 3 次,所得酸化的污泥即为经过驯化后的用于生物沥浸试验的接种物,硫杆菌密度大约为 10⁷ CFU/mL.

表 1 供试城市污泥主要理化性质(以干物质计)

Table 1 Primary physicochemical properties of the selected sewage sludge

pH	含固率/%	全 N/%	全 P/%	全 K/%	有机质/%	Cu/mg·kg ⁻¹	Zn/mg·kg ⁻¹	Ni/mg·kg ⁻¹
6.59	2.87	3.77	4.27	0.25	52.18	7 432	712	596

溶剂萃取试验所用萃取剂为 M5640(主要成分为 5-壬基水杨醛肟)^[16-18],购买于洛阳市中达化工有限公司,为工业级产品,含量为 100%;稀释剂为 260 号磺化煤油;反萃取剂为实验室配制的稀硫酸溶液.

电积试验在自制的 1L 电解槽中进行,电解槽采用焊接 PVC 板矩形结构,长、宽、高分为 12、10、8 cm.阴、阳极分别采用 Cu 板和石墨片,电解前,先用砂纸仔细打磨,使其表面平整,光滑;然后用水冲洗

干净,并用丙酮和 10% 稀硫酸先后浸泡数 min,除去电极表面油渍及氧化物;最后用蒸馏水清洗,吹干,称重后待用^[19,20].电解温度、槽电压分别由恒温水浴锅(上海亚荣生化仪器厂 B-260)和直流稳压电源(鸿宝 HB-17300SL 3A)控制.

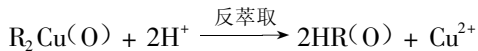
1.2 污泥中 Cu 的生物沥浸试验

根据本课题组的研究结果进行污泥中 Cu 的生物浸出试验^[21].取 50 mL 含有复合硫杆菌接种物放入盛有 250 mL 供试浓缩液态污泥的 500 mL 三角瓶

中,并加 1 g 能源物,三角瓶用 8 层纱布封口,置于 28℃ 往复式摇床中 180 r/min 振荡培养,培养期间采用称量法补充蒸发的水分,共设置 3 个重复.在生物沥浸过程中,每 12h 取样,用 pHs-3C 型 pH 计测定其 pH,随后离心和过滤,用原子吸收分光光度计 (Varian 220 Spectr AA) 测定滤液中 Cu 的浓度,根据试验前后样品中重金属含量的差值,计算污泥中重金属的浸出率.

1.3 污泥生物沥浸液中 Cu 的萃取与反萃取条件优化试验

萃取剂 M5640 是由 5-壬基水杨醛肟(P50)加入酯类改性剂醛肟型萃取剂,为琥珀色的纯净液体,密度为 0.96 g/mL, Cu-Fe 分离系数(指 Cu 在油水两相的浓度之比除以 Fe 在相同的两相浓度之比) > 2 000.它可在相当宽的 pH 范围内,包括在酸性条件下与 Cu 络合,形成络合物进入 M5640 有机相(萃取过程),而在较强酸度条件下(如酸度在 1 mol/L 以上),络合物解离使 Cu 进入水相(反萃取过程).Cu 的萃取与反萃取可用下式表示:



萃取剂 M5640 对污泥生物沥浸液中 Cu 的络合容量测定:用城市污泥沥浸液分别配制一系列含 Cu 浓度为 0.1、0.2、0.3、0.4 和 0.5 g/L 的富 Cu 溶液(以污泥沥浸液表示),用稀硫酸调节溶液 pH 到 2.0 左右,按上述方法,利用 2% 的 M5640 萃取剂(用 260 号磺化煤油稀释, M5640 的浓度为 M5640 占 M5640 + 稀释剂的体积百分浓度)在相比(有机相体积/水相体积,以 O/A 表示)为 1/4,室温下振荡 3 min 对富 Cu 的城市污泥沥浸液进行萃取,测定萃余液中 Cu 含量.萃取前后沥浸液中 Cu 含量之差为 Cu 与萃取剂络合量.根据等温曲线获得最大的络合容量.为评估生物沥浸液中可溶性有机质(DOM)存在对萃取的可能影响,同时用去离子水配制一系列含 Cu 溶液(以去离子水表示)作为对照处理进行萃取试验.

沥浸液 pH 对污泥生物沥浸液中 Cu 萃取的影响试验:用稀硫酸或稀氢氧化钠溶液调节污泥沥浸液 pH 值为 1.5、2.0、2.5 和 3.0,室温下,将浓度为 2% 的 M5640 萃取剂和浸出液按相比 O/A 为 1/4 分别加入到 250 mL 的分液漏斗中,充分振荡 3 min 后,静置,使萃取反应后的有机相与水相(萃余液)分层,并分别收集有机相和水相.采用原子吸收分光光度计分析水相中 Cu 浓度,邻啡罗啉比色法测定(分光

光度计 UV-754)水相中 Fe 浓度,并计算相应的金属离子萃取率.

萃取剂浓度对萃取污泥生物沥浸液中 Cu 的影响试验:萃取剂浓度设置为 1%、2%、3%、4%、5% 5 个处理,沥浸液 pH 值为 2.0,沥浸液相比 O/A 为 1/4,振荡时间 3 min,其余条件和处理程序同上.

相比对萃取与反萃取效果的影响试验:室温下,将浓度为 2% 的 M5640 萃取剂和浸出液按相比 O/A 为 1/4、1/3、1/2、1/1 分别加入到 250 mL 的分液漏斗中,充分振荡 3 min 后,测定 Cu、Fe 的萃取效率.以相似的方法进行不同相比的反萃取试验,即将络合有 Cu 的萃取液(O)与浓度为 2.0 mol/L 的稀硫酸水溶液(A)按相比 O/A 为 1/3、1/2、1/1、2/1、3/1 分别加入到分液漏斗中,按上法充分振荡、静置分层、测定水相(即反萃取相)中金属离子浓度,并计算金属离子的反萃取率.

反萃取剂稀硫酸浓度(酸度)对 Cu 反萃取效果的影响试验:反萃取剂稀硫酸溶液浓度设置为 1.0、1.5、2.0、2.5、3.0 mol/L,有机相为络合有 Cu 的萃取剂 M5640,相比 O/A 固定为 2/1,按上述方法在分液漏斗中进行反萃取,测定 Cu 的反萃取效率.

1.4 反萃取液中 Cu 的电积试验

将 500 mL 反萃取后的 Cu 富集液倒入电解槽,电解槽置于 55℃ 的恒温水浴锅中恒温,保持阴阳极间距 2.5 cm,控制槽电压为 2.1 V,电积 6 h,每隔 2 h 测量电解液体积,同时取 5 mL Cu 电解液作为待测样品,用原子吸收分光光度计测定溶液中的 Cu^{2+} 浓度,根据处理前后溶液中 Cu^{2+} 的质量浓度,计算 Cu 回收率、电流效率(η)及电耗(W)^[22].

$$\eta = M \times 100\% / (1.1852 \times 10^{-6} \times I \times t) \quad (1)$$

$$W = I \times V \times t \times 10^{-3} / M \quad (2)$$

式中, η 为电流效率,%; M 为实际析出量, t; I 为电流强度, A; t 为析出时间, h; W 为直流电耗, $kW \cdot h \cdot t^{-1}$; V 为槽电压, V.

2 结果与讨论

2.1 生物沥浸法对污泥中重金属 Cu 的溶出效果

图 1 反映了生物沥浸过程中城市污泥体系 pH 变化与重金属 Cu 的溶出动态.污泥体系 pH 的下降是生物沥浸中嗜酸性硫杆菌大量繁殖的一大标志,体系 pH 降低的越多,说明生物沥浸作用越强.在振荡培养 12 h 后, pH 就从起始的 6.59 迅速降至 4.91,随后, pH 逐渐降低, 72 h 时就已经降到 2.01,而 96 h 后污泥 pH 仅为 1.53,此时反应结束.

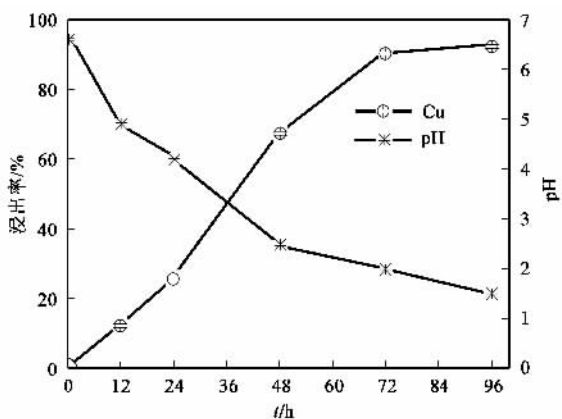


图1 城市污泥生物沥浸过程中 pH 变化与 Cu 的溶出动态

Fig.1 Changes of pH and removal efficiency of Cu from sewage sludge during bioleaching

随着时间的推移,污泥中重金属 Cu 逐渐被溶出,至反应 72 h 时, Cu^{2+} 的溶出率已经达到 90% 以上,且随着时间的推移, Cu^{2+} 的溶出率上升不是很显著,此时污泥体系 pH 值为 2.0 左右,故当城市污泥体系 pH 值下降到 2.0 左右时,生物沥浸溶出 Cu 实验即可结束.另外,从图 1 还可以看出,从 24 h 开始, Cu^{2+} 开始大量溶出,此时污泥体系 pH 为 4.2,这说明城市污泥中金属 Cu 生物溶出的起始阈值为 4.2 左右,这与前面研究者所报道的结果相一致^[21].

经过生物沥浸后,城市污泥中重金属 Cu 去除率高达 93% 以上,符合《农用污泥中污染物控制标准》(GB 4284-84),实现了无害化处理,同时污泥中 N、P、K 等有益成分并没有受到很大的影响^[4],具有农业安全利用的价值.另外,较之生物沥浸处理前污泥液相中检测不出 Cu^{2+} 浓度,污泥生物沥浸液中含有大量的 Cu^{2+} ,浓度高达 0.19 g/L,具有进一步资源化回收利用的经济效益.

2.2 污泥沥浸液中 Cu 的萃取与反萃取研究

以城市污泥生物沥浸液为水相原料,浓度为 2% 的 M5640 Cu 萃取剂为有机相,进行选择性的萃取-反萃取回收 Cu 的试验,探讨 2% M5640 萃取剂的饱和含量及各影响因素对萃取分离 Cu 效果的影响.

2.2.1 Cu 萃取等温线

萃取等温线是考察萃取剂性能最关键的指标之一,根据 Langmuir 等温线方程拟合萃取平衡等温线,得出,在城市污泥沥浸液(有机环境)和去离子水(无机环境)下的等温线方程式分别为:

$$\frac{1}{q} = 0.8244 + \frac{0.0046}{c}$$

(相关系数 $r = 0.9950$)

$$\frac{1}{q} = 0.7662 + \frac{0.0041}{c}$$

(相关系数 $r = 0.9917$)

式中, q 为平衡时有机相 M5640 上的 Cu 浓度, g/L, c 为平衡时水相中 Cu 浓度, g/L.

从图 2 中可以看出,无机环境下(去离子水配制的 Cu 溶液),2% M5640 的萃取性能要优于在含有 DOM 的城市污泥沥浸液环境下,其饱和 Cu 浓度分别为 1.22 g/L 和 1.15 g/L,与拟合后的萃取等温线方程式相符合.

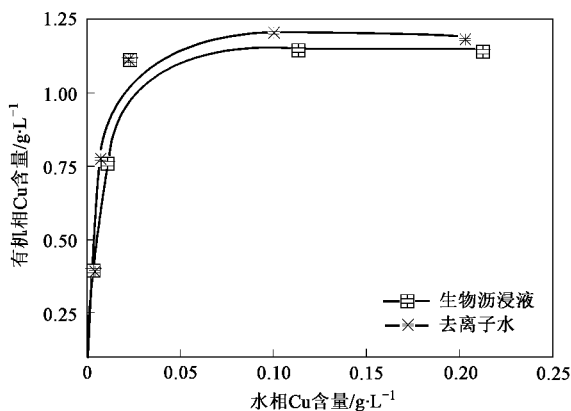


图2 2% M5640 萃取剂在污泥生物沥浸液和去离子水的萃取等温线

Fig.2 Extract isotherm curve of 2% M5640 in the sewage sludge bioleachate and the deionized water

从有机相理论饱和 Cu 浓度来看,二者并无很显著的差异.在实际萃取操作过程中,在水相和油相界面之间,出现乳化现象,影响分相速度,导致相分离困难.这可能是由于浸出液中有有机碳或者固体悬浮物的影响,据报道,当有机碳(腐殖酸钠盐)含量达到 5 mg/L 以上时,就会产生大量的污物^[23].

2.2.2 污泥沥浸液 pH 对萃取效率的影响

由图 3 可知, Cu 和 Fe 的萃取率随着沥浸液 pH 值的增大而增大.当沥浸液 pH 值在 1.5 ~ 2.0 范围内, Cu 的萃取率较高同时 Cu-Fe 的分离系数也较大,当 pH 值增大到 2.5 以后, Cu 的萃取率变化不大,而 Fe 的萃取率上升明显,达到 10% 以上,实验中还发现,此时污泥沥浸液会出现浑浊现象,这可能是由于 Fe^{3+} 的水解反应产生 $\text{Fe}(\text{OH})_3$ 絮状物,从而使分相困难,不利于萃取进行^[24].考虑到城市污泥实际生物沥浸过程中,当 pH 下降到 2.0 以下时, Cu 的溶出率已经没有了明显的上升趋势,因此,沥浸液的 pH 值控制在 2.0 左右最佳.

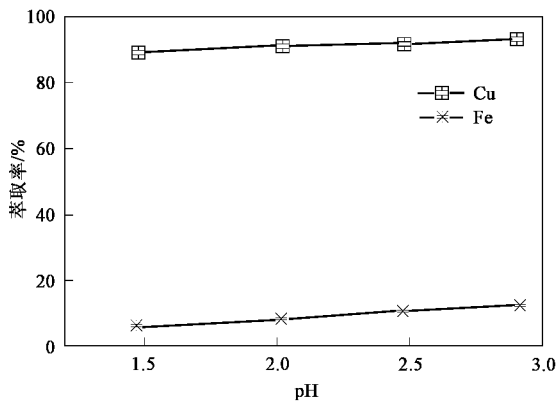


图3 城市污泥生物沥浸液 pH 值对萃取效率的影响
Fig.3 Effect of pH of the sewage sludge bioleachate on extraction efficiency

2.2.3 萃取剂浓度对萃取效率的影响

由图4可见,萃取剂体积分数由1%增大到2%时,Cu的萃取率迅速从83.39%上升到95.41%,变化幅度较大,此后提高萃取剂体积分数,Cu的萃取率变化不大,对Cu萃取率的影响不是很显著,这可能是由于1% M5640 Cu萃取剂的理论饱和Cu容量较低,在相比O/A为1/4的实验条件下,有机相不能完全萃取沥浸液中的Cu,当萃取剂浓度提高到2%或更高浓度时,有机相的饱和Cu容量已经超过了沥浸液中的Cu含量,故Cu萃取率会出现先迅速上升后略有上升的现象。

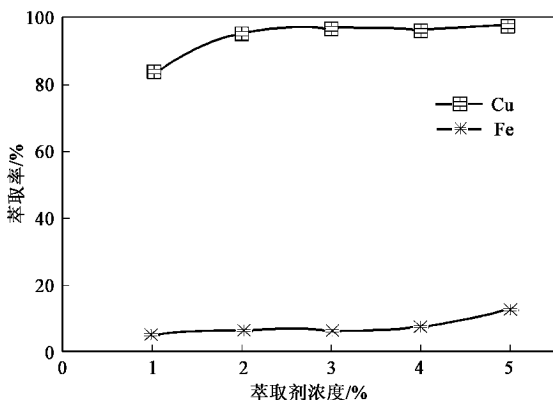


图4 萃取剂M5640浓度对城市污泥生物沥浸液中Cu萃取效率的影响
Fig.4 Effect of extractant M5640 concentration on extraction efficiency in the sewage sludge bioleachate

结果表明,随着萃取剂体积分数的增大,Cu萃取率较高且呈上升趋势,而Fe的共萃率较低,二者分离效果较好.综合考虑萃取剂的用量、成本及分离效率,选择萃取剂浓度为2%较适宜。

2.2.4 相比对萃取分离Cu与Fe的影响

由图5可以看出,相比(O/A)越大,Cu、Fe的萃取率也越大.Cu萃取率从O/A=1/4时的89.73%上升到O/A=1/3时的93.89%,但此后改变相比,对Cu的萃取率影响不大,这与前面萃取浓度与萃取率的关系相符,可能是由于在此萃取条件下,有机相的饱和Cu含量已经超过了沥浸液中的Cu含量,考虑到相比增大时,Fe的共萃也增多,Cu、Fe的分离效果反而较差,因此,选择相比O/A=1/3。

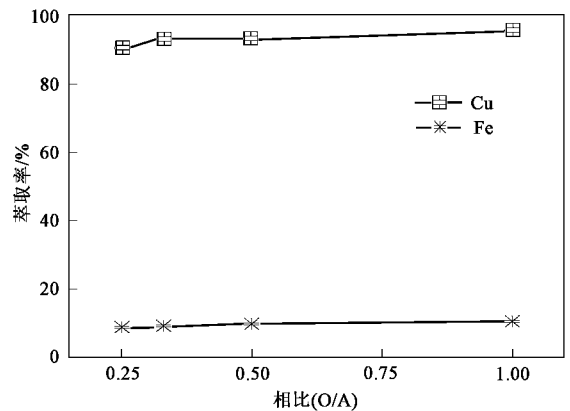


图5 萃取相比(O/A)对城市污泥生物沥浸液中Cu、Fe分离的影响
Fig.5 Effect of phase ratio (O/A) on Cu/Fe separation in the sewage sludge bioleachate

2.2.5 反萃取中相比对Cu反萃效果的影响

结果表明,随着O/A的增大,Cu反萃取率呈下降趋势,Cu的反萃取效果就越差,与前面有些研究者报道的结论一致^[25].这可能是由于O/A相比越大,水相硫酸的体积越小,从有机相中反萃取Cu离子就越困难.当反萃取相比O/A=2/1时,Cu反萃取率也能达到83%,这只是一级反萃取,如果采用多级反萃取,效果将会更好,综合考虑硫酸用量和Cu反萃取率,反萃取相比O/A在2/1为宜。

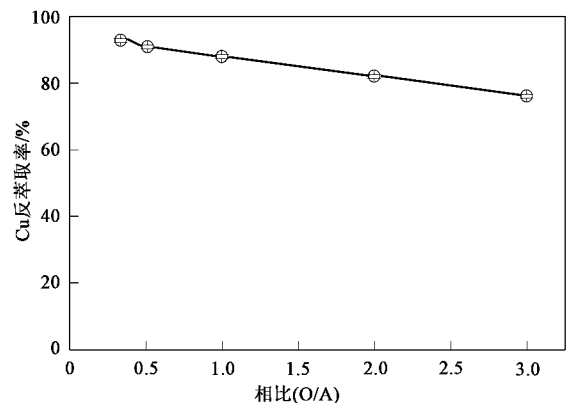


图6 反萃取相比(O/A)对有机相中Cu反萃效果的影响
Fig.6 Effect of phase ratio (O/A) on the stripping efficiency of Cu²⁺

2.2.6 反萃剂酸度对反萃率的影响

由于湿法冶金中,硫酸介质中 Cu 的电积生产工艺已经很成熟,所以选择硫酸溶液作为反萃取剂.实验表明,有机相中的 Cu 较容易被硫酸反萃取,随着反萃剂 H_2SO_4 浓度的增加,Cu 反萃率也逐渐增加.当硫酸浓度在 1.5 mol/L 时,Cu 的反萃取率已达 80% 以上,此后,硫酸浓度的增加,Cu 反萃取率的变化不显著,故反萃取剂硫酸的浓度为 1.5 mol/L.

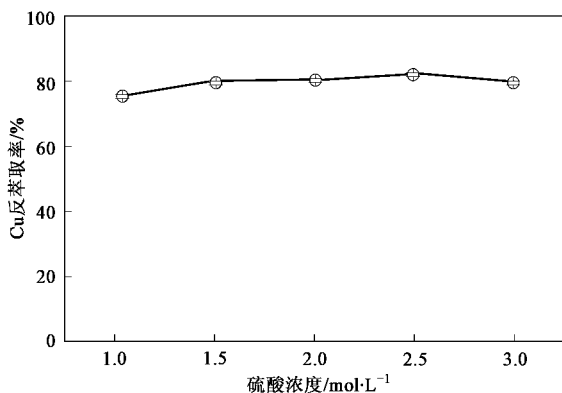


图7 反萃剂硫酸浓度对有机相中 Cu 反萃取效果的影响

Fig.7 Effect of the concentration of stripping solvent (H_2SO_4) on the stripping efficiency of Cu^{2+}

在最佳萃取-反萃取 Cu 的工艺条件下进行 Cu 富集试验,采用多级反萃取,即可获得浓度为 2.5 g/L 左右的富集 Cu 溶液,较之原先的沥浸液中 Cu 浓度(0.19 g/L)提高了 13 倍之多.

值得指出的是,萃取后 pH 低于 2.0 时仍有较多硫杆菌的酸性贫 Cu 萃余液可返回到污泥生物沥浸单元中循环使用,以浸提下一批次污泥中重金属;而反萃取后的有机相或油相则又可作为下一批次的生物沥浸液中 Cu 的萃取剂,电积后的电解液可循环到反萃取阶段作为反萃取剂,因此整个工艺无废水产生,完全实现闭路循环,不会产生二次污染的风险.

2.3 电积回收 Cu 的效果

将富集 Cu 溶液作为电解液,阳、阴极分为石墨和 Cu 板,在槽电压为 2.1 V,反应温度为 55℃ 的条件下进行电积回收 Cu 试验.从表 2 可以看出,电解反应开始时, Cu^{2+} 的浓度迅速下降,在 2h 时,Cu 的回收率就已达到 36.73%,但随着时间的延长,电解液中 Cu^{2+} 的浓度下降速度变慢,Cu 的回收率上升缓慢,在 6 h 时达到 91.59%.这与法拉第电解定律相符合,即物质的去除量与电解时间成正比.

电积结束后,阴极上附着一层亮红色的金属 Cu 粉.电积 6 h 后,可获得 1.10 g 高纯度的 Cu,并且电

流效率达到 77.34%,电耗为 2 290 $\text{kW}\cdot\text{h}/\text{t}$,依试验结果计算,具有一定的经济效益,并且与从氧化 Cu 矿回收 Cu 所需的直流电耗 1 800 ~ 1 900 $\text{kW}\cdot\text{h}/\text{t}$ ^[25],相差不大,这说明通过电沉积法回收反萃取液中的 Cu 是可行的.

表 2 电积法回收反萃液中金属 Cu 的动态变化

Table 2 Copper recovery efficiency during Electrodeposition

项目	时间/h			
	0	2	4	6
电解液 Cu 浓度/ $\text{mg}\cdot\text{L}^{-1}$	2 405	1 585	857.5	256
电解液体积/L	0.500	0.480	0.435	0.395
Cu 回收率/%	0	36.73	68.98	91.59

3 结论

(1) 利用复合嗜酸性硫杆菌对含 Cu 的城市污泥进行生物沥浸处理 72 h 后,污泥体系的 pH 值下降到 2.0 左右,同时污泥中 Cu 的溶出率也达到 90% 以上,沥浸液中 Cu 浓度为 0.19 g/L,具有进一步回收利用的价值,此后,随着 pH 值的下降,Cu 的溶出率并无显著的上升趋势.

(2) 采用萃取剂 M5640-磺化煤油体系萃取分离污泥沥浸液中 Cu 时,在沥浸液 pH 值为 2.0、萃取相比 O/A 为 1/3、萃取剂浓度为 2% 的条件下,可以有效分离 Cu 和 Fe,Cu 萃取效率可达 95% 以上.后续采用硫酸为反萃剂可将有机相中 Cu 反萃取到水相中,在反萃取时相比 O/A 为 2/1 及硫酸浓度为 1.5 mol/L 的条件下,反萃效果最好.

(3) 以石墨为阳极、Cu 板为阴极,在槽电压为 2.1 V,极距为 2.5 cm,电解温度为 55℃ 条件下,对富 Cu 的反萃取液电积 6 h,即可回收高达 91% 的高纯度 Cu.因此,生物沥浸溶出-溶剂萃取-电积法对处理含 Cu 较高的城市污泥有潜在的应用价值,既可使污泥无害化又可从污泥中回收有价金属,值得深入探索.

参考文献:

- [1] Brown M J, Lester J W. Metal removal in activated sludge: The role of bacterial extracellular polymer [J]. Water Res, 1979, 13: 817-837.
- [2] 郑翔翔,崔春红,周立祥,等.江苏省城市污水处理厂污泥重金属含量与形态研究[J].农业环境科学学报,2007,26(5):1982-1987.
- [3] 周立祥,王良梅.污水污泥中重金属的细菌淋滤效果研究[J].环境科学学报,2001,21(4):504-506.
- [4] 周立祥,方迪,周顺桂,等.利用嗜酸性硫杆菌去除制革污泥中铬的研究[J].环境科学,2004,25(1):62-66.
- [5] 郑冠宇,王世梅,周立祥.污泥生物沥浸处理对病原物的杀灭效果影响[J].环境科学,2007,28(7):1539-1542.

- [6] 王电站,周立祥,何锋.生物淋滤法提高制革污泥脱水性能的研究[J].中国环境科学,2006,26(1):67-71.
- [7] 廖岳华,周立祥,刘秀海,等.制革污泥生物沥浸液中铬回收的方法与效果研究[J].环境工程学报,2007,1(10):104-107.
- [8] 吕文东,郝志峰,王继民.湿法炼铜中的萃取剂[J].广东有色金属学报,2004,14(2):114-118.
- [9] Swanson R R. Compositions containing phenolic oximes and certain alpha-hydroxy aliphatic oximes [P]. US Pat: 3592775, 1971-07-31.
- [10] Mackay K D, Sierakoski. Solvent extraction [P]. EP: 0085522, 1983-10.
- [11] 李继璧.国内铜湿法冶金工艺应用现状[J].湿法冶金,2007,26(1):13-16
- [12] 刘大星.湿法炼铜的发展与前景[J].有色金属再生与利用,2005,(5):34-36.
- [13] 周立祥,周顺桂,王世梅,等.制革污泥中铬的生物脱除及其对污泥的调理作用[J].环境科学学报,2004,24(6):1014-1020.
- [14] Zhou S G, Zhou L X, Wang S M, *et al.* Removal of Cr from tannery sludge by bioleaching method [J]. J Environ Sci, 2006, 18(5):885-890.
- [15] 周顺桂,周立祥,方迪,等.黄铁矿与硫粉配合提高污泥重金属的淋滤效果[J].中国环境科学,2004,24(1):110-114.
- [16] 陈淑萍,赖绣华,郭其章.M5640 和 Tn 从酸浸液中萃取铜试验研究[J].矿冶工程,2007,27(1):61-63.
- [17] 吴芳,吕军.铜萃取剂 M5640 从硫酸镍溶液中分离 Cu 的应用研究[J].五邑大学学报,2004,18(1):25-27,40.
- [18] Alguacil F J, Cobo A, Alonso M. Copper separation from nitrate/nitric acid media using Acorga M5640 extractant Part I: solvent extraction study [J]. Chem Eng J, 2002, 85:259-263.
- [19] 朱福良,张峰,樊丁,等.铜电解精炼工艺[J].兰州理工大学学报,2007,33(2):9-12.
- [20] 董云会,林建新.硫脲的吸附行为及其对铜电沉积的影响[J].合肥工业大学学报(自然科学版),1999,22(1):98-102.
- [21] 李超,周立祥,王世梅.复合硫杆菌生物浸出污泥中重金属的效果及与 pH 和 ORP 的关系[J].环境科学学报,2008,28(6):1155-1160.
- [22] 胡渊明,马春来.降低铜电解直流电耗的生产实践[J].有色矿冶,2006,22(4):61-63.
- [23] 肖立.铜萃取过程产生污物的原因分析[J].湿法冶金,1998,(4):29-33.
- [24] 侯新刚,哈敏,薛彩红.溶剂萃取法铜铁分离的研究[J].甘肃科技,2008,24(4):37-39.
- [25] 彭滨.从电镀污泥中回收铜和镍[J].广东化工,2005,(12):59-60.
- [26] 谢福标.氧化铜矿搅拌浸出-萃取-电积的生产实践[J].矿冶,2001,10(2):45-49.